

ЭЛЕКТРОННЫЕ СВОЙСТВА ГРАНИЦ РАЗДЕЛА ПОЛУПРОВОДНИК—ДИЭЛЕКТРИК

В ТОНКОПЛЕНОЧНОМ ТРАНЗИСТОРЕ НА ОСНОВЕ СТРУКТУРЫ SiO_2 — $\alpha\text{-Si(H)}$ —ПЛЕНКА ЛЕНГМЮРА—БЛОДЖЕТТ

В. И. Антоненко, Д. А. Знаменский, С. М. Калугин, В. Н. Леванович,
Ю. Н. Моисеев, В. И. Панов, П. А. Тодуа, В. Н. Уласюк, Р. Г. Юсупов

Всесоюзный научно-исследовательский центр по изучению свойств поверхности и вакуума,
117334, Москва, Россия

(Получена 16.06.1992. Принята к печати 2.07.1992)

Создан двухсторонний тонкопленочный полевой транзистор (ТПТ) на основе структуры SiO_2 — $\alpha\text{-Si(H)}$ —пленка Ленгмюра—Блоджетт (ЛБ) холестериносодержащего гребнеобразного полимера. Установлено, что подвижность эффекта поля в проводящем канале ТПТ вдоль поверхности ЛБ пленки в 30 раз выше, нежели вдоль поверхности SiO_2 . Значения энергий активации проводимостей в каналах ТПТ составляют 0.44 и 0.65 эВ соответственно. Полученные результаты свидетельствуют о более высокой плотности состояний на границе раздела $\alpha\text{-Si(H)}\text{—SiO}_2$ по сравнению с интерфейсом $\alpha\text{-Si(H)}\text{—ЛБ}$ пленка, что связано с методами их формирования. На SiO_2 аморфный гидрогенизованный кремний наносился плазмохимическим методом, тогда как ЛБ пленка на $\alpha\text{-Si(H)}$ осаждалась путем переноса высокоупорядоченного квазидвумерного жидкого кристалла с поверхности воды. Высокое совершенство ЛБ слоев подтверждается их изображением в сканирующем атомно-силовом микроскопе.

Введение. Прогресс электронных приборов больших площадей, в частности жидкокристаллических дисплеев с активной матричной адресацией, непосредственно связан с развитием технологии тонкопленочных полевых транзисторов (ТПТ) на основе аморфного гидрогенизированного кремния. В процессе отработки технологии создания структуры таких ТПТ, как правило, используется термически окисленный моноцирсталический кремний с последующим плазмохимическим осаждением $\alpha\text{-Si(H)}$ для формирования структуры ТПТ обращенного типа. При этом подвижность эффекта поля в таком канале может быть существенно ниже рекордных значений, составляющих $0.4 \pm 1 \text{ cm}^2/\text{V}\cdot\text{s}$, что является отражением физико-химических свойств интерфейса [1]. Типичные значения толщины пленки $\alpha\text{-Si(H)}$ на SiO_2 -подложке составляют 0.1 мкм, при этом состояние ее открытой поверхности затрудняет исследование параметров проводящего канала [2].

В данной работе проведена пассивация открытой поверхности $\alpha\text{-Si(H)}$ вторым подзатворным диэлектриком, выполненная по методу Ленгмюра—Блоджетт, и проведено сравнение характеристик границ раздела $\alpha\text{-Si(H)}\text{—SiO}_2$ и $\alpha\text{-Si(H)}\text{—пленка Ленгмюра—Блоджетт}$ (ЛБ). Метод Ленгмюра—Блоджетт [3, 4] позволяет формировать при комнатной температуре на поверхности полупроводника контролируемые по толщине двумерно-упорядоченные моно- и мультимолекулярные слои органических поверхностно-активных веществ (ПАВ), которые могут быть использованы в качестве подзатворного диэлектрика. Существенное отличие ленгмюровской технологии — отсутствие переходного «нарушенного» слоя, характерного, например, для термически окисленных поверхностей. Как показано в [5], характеристики ленгмюровских МДП транзисторов, выполненных на основе монокристаллического кремния, в том числе такие, как подвижность эффекта

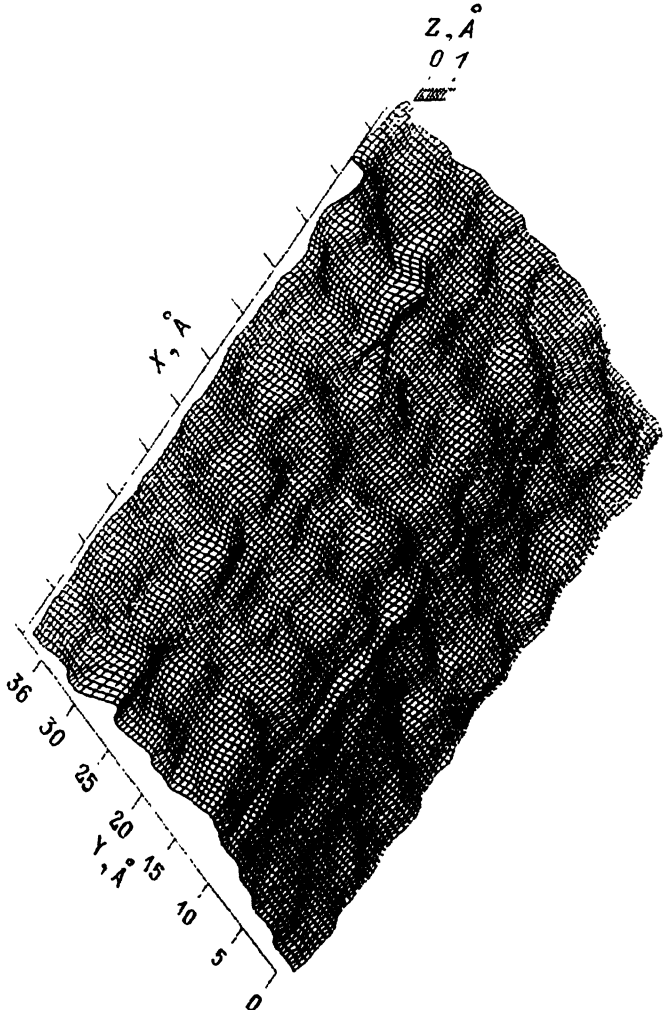


Рис. 1. Изображение поверхности ЛБ пленки ПХА-10, сформированной на подложке $\alpha\text{-Si(H)}$, в атомно-силовом микроскопе. Размер кадра $40 \times 60 \text{ \AA}$.

поля, могут быть выше соответствующих характеристик МОП транзисторов, выполненных на том же кремнии по традиционной технологии. Этой причиной обусловлено использование нами ЛБ пленок для сравнения характеристик проводящих каналов в геометрии двухстороннего $\alpha\text{-Si(H)}$ ТПТ вдоль поверхности ЛБ пленки и SiO_2 .

Методика

Пленки $\alpha\text{-Si(H)}$ наносились на предварительно окисленную поверхность монокристаллического кремния ориентации $\langle 100 \rangle$ с удельным сопротивлением $\rho \sim 4.5 \text{ Ом} \cdot \text{см}$ методом плазмохимического осаждения путем разложения силана в ВЧ плазме тлеющего разряда. Концентрация водорода в пленке достигала 2 процентов (по данным ИК спектроскопии). Омические контакты в области стока и истока формировались путем термического напыления Al в вакууме не хуже $10^{-6} \text{ мм рт. ст.}$

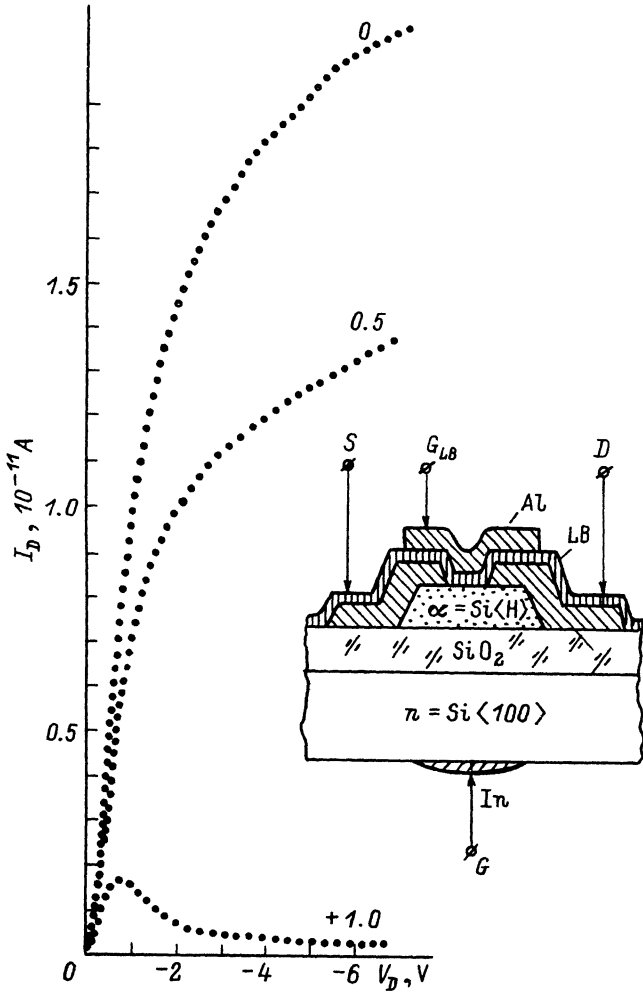


Рис. 2. Выходные характеристики ЛБ ТПТ. Чифрами указано напряжение на ЛБ затворе. На вставке — схематичное изображение двухстороннего ТПТ.

В качестве ПАВ для формирования ЛБ пленки подзатворного диэлектрика использован гребнеобразный жидкокристаллический холестерический полимер (ПХА-10) [6]. Известно, что полимерные жидкокристаллические ПАВ образуют однородные бездефектные ЛБ слои на различных твердых подложках [7, 8], в частности, на гидрофобных подложках с высокой концентрацией гидрофильных групп на поверхности (дифильные поверхности), каковыми являются поверхности $\alpha\text{-Si(H)}$.

Слои полимера наносили на поверхность $\alpha\text{-Si(H)}$ на установке Joyce Loebl по методу Ленгмюра—Блоджетт [9]. Полимер ПХА-10 растворялся в хлороформе и впрыскивался на поверхность чистой деионизованной воды. После испарения хлороформа слой полимера поджимался подвижной рамкой до образования монослоя, который наносился на поверхность $\alpha\text{-Si(H)}$ путем вертикального перемещения образца через границу раздела вода—монослоем со скоростью 2 мм/с при постоянном поверхностном давлении 30 мН/м. Таким образом, на поверхность $\alpha\text{-Si(H)}$ было нанесено 20 монослоев, что при толщине монослоя 33.4 Å (по

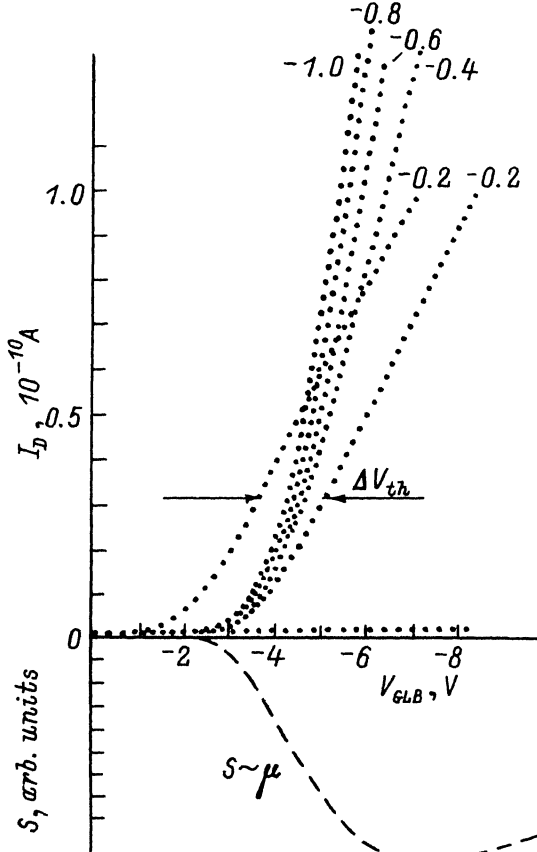


Рис. 3. Сток-затворные характеристики ЛБ ТПТ. ΔV_{th} — дрейф порогового напряжения. Цифрами указано напряжение на стоке в вольтах. В нижней части рисунка — крутизна $S = \partial I_D / \partial V_{GLB}$, полученная аналоговым дифференцированием при $V_D = -1$ В.

данным малоуглового рентгеновского рассеяния) составило 67 нм. О высокой структурной упорядоченности и бездефектности полученных слоев свидетельствуют их изображения (рис. 1), выполненные методом сканирующей атомно-силовой микроскопии [10, 11]. Металлический контакт к ЛБ пленке (ЛБ затвор) получали термическим напылением Al в вакууме не хуже 10^{-6} мм рт. ст.

Далее приведены основные геометрические параметры двухсторонних интегральных ТПТ (см. вставку на рис. 2) с различной комбинацией длины L и ширины W каналов. Толщины: $\text{SiO}_2 = 0.17$, $\alpha\text{-Si(H)} = 0.1$, ЛБ пленка — 0.067 мкм. $L = 10, 15$ мкм; $W = 100, 200$ мкм. Удельные емкости: SiO_2 -затвор — $c = 20.8$; ЛБ затвор — $c_{LB} = 35$ нФ/см².

Измерения характеристик ТПТ проводились в диапазоне температур 80—500 К. Для измерения температурных зависимостей характеристик ТПТ использовался нагрев с постоянной скоростью $0.1 \div 0.3$ К/с для уменьшения систематических погрешностей, связанных с непостоянством скорости изменения температуры.

Обсуждение

На рис. 2—4 показаны типичные транзисторные квазистатические ВАХ двухстороннего ТПТ, в котором поочередно реализовывались проводимости обоих

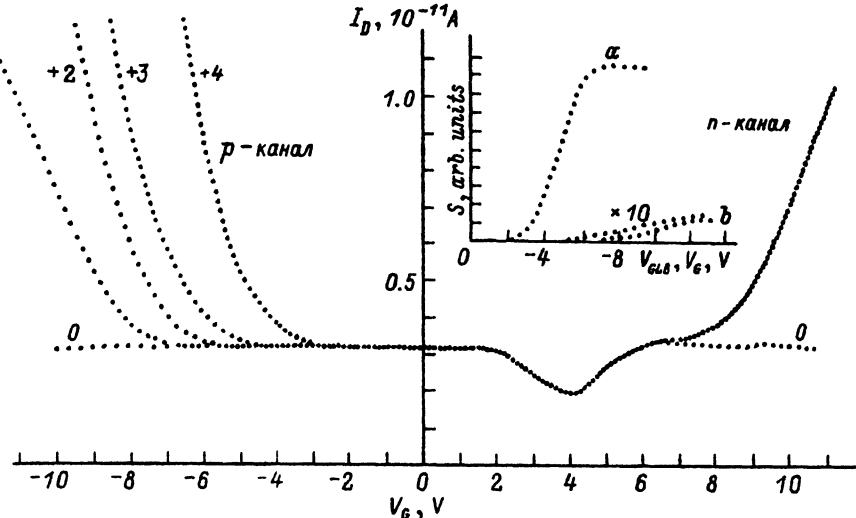


Рис. 4. Сток-затворные характеристики SiO_2 ТПТ. Цифры у кривых — V_{th} , В. На вставке — зависимость крутизны S от напряжения смещения для ЛБ ТПТ (а) и SiO_2 ТПТ (б).

каналов — вдоль поверхности ЛБ пленки (ЛБ канал) или SiO_2 (SiO_2 -канал) путем заземления соответствующего затвора: $V_G = 0$, изменяется V_{GLB} или $V_{GLB} = 0$, изменяется V_G . На границе ЛБ пленка— $\alpha\text{-Si(H)}$ образовывался p -канал с пороговым напряжением $V_{th} \approx 4$ В. На границе раздела SiO_2 — $\alpha\text{-Si(H)}$ реализовывались каналы n - и p -типа с величиной порогового напряжения $V_{th} > 8$ В. Следует отметить, что образование n -канала проводимости в ЛБ ТПТ затруднено из-за большого порогового напряжения $V_{th} > 12$ В. Не все ЛБ пленки выдерживали такое смещение (напряженность поля в диэлектрике выше $2 \cdot 10^6$ В/см) в результате возникновения электрического пробоя.

Интересно отметить, что в исходном состоянии в ЛБ ТПТ наблюдался встроенный p -канал с поверхностной плотностью заряда в канале $N_s \approx 2 \cdot 10^{11} \text{ см}^{-2}$ (для его исчезновения на ЛБ затвор подавалось положительное смещение 1 В). В результате полевой тренировки пороговое напряжение стабилизировалось на уровне $V_{th} \approx 4$ В (рис. 3). Можно предположить, что первоначально на границе раздела $\alpha\text{-Si(H)}$ —ЛБ пленка присутствовал встроенный заряд $Q_s = \Delta V_{th} c_{LB} WL \approx 2 \cdot 10^{-12}$ Кл с плотностью $N_s = \Delta V_{th} c_{LB} / q \approx 10^{12} \text{ см}^{-2}$, где q — элементарный заряд.

Изменение пороговых напряжений характерно и для SiO_2 ТПТ: в случае p -канала $\Delta V_{th} = 1.2$, в случае n -канала $\Delta V_{th} = 0.7$ В. Этот процесс обратим и указывает на типичную инжеекцию носителей заряда в SiO_2 со стороны $\alpha\text{-Si(H)}$.

На вставке к рис. 4 представлены также зависимости крутизны $S(V_G) = \partial I_D / \partial V_G$ (в случае однородного канала, т. е. для малых значений V_G для обоих каналов двухзатворного ТПТ). Исходя из соотношения $\mu = IS/cV_D$, где c — удельная емкость затвора, S — крутизна, рассчитанные значения подвижности эффекта поля в ЛБ канале $\mu_{LB}^p = 0.6 \cdot 10^{-3} \text{ см}^2/\text{В} \cdot \text{с}$ в 30 раз превышают соответствующее значение для SiO_2 -канала $\mu_{SiO_2}^n \approx \mu_{SiO_2}^p = 0.2 \cdot 10^{-4} \text{ см}^2/\text{В} \cdot \text{с}$. Более высокая подвижность носителей заряда в ЛБ канале свидетельствует о меньшей плотности локализованных состояний на границе $\alpha\text{-Si(H)}$ —ЛБ пленка по сравнению с границей $\alpha\text{-Si(H)}$ — SiO_2 .

Этот вывод подтверждает и анализ температурной зависимости тока стока $I_D(1/T)$ в области температур 200—350 К (рис. 5). Для ЛБ ТПТ характерен

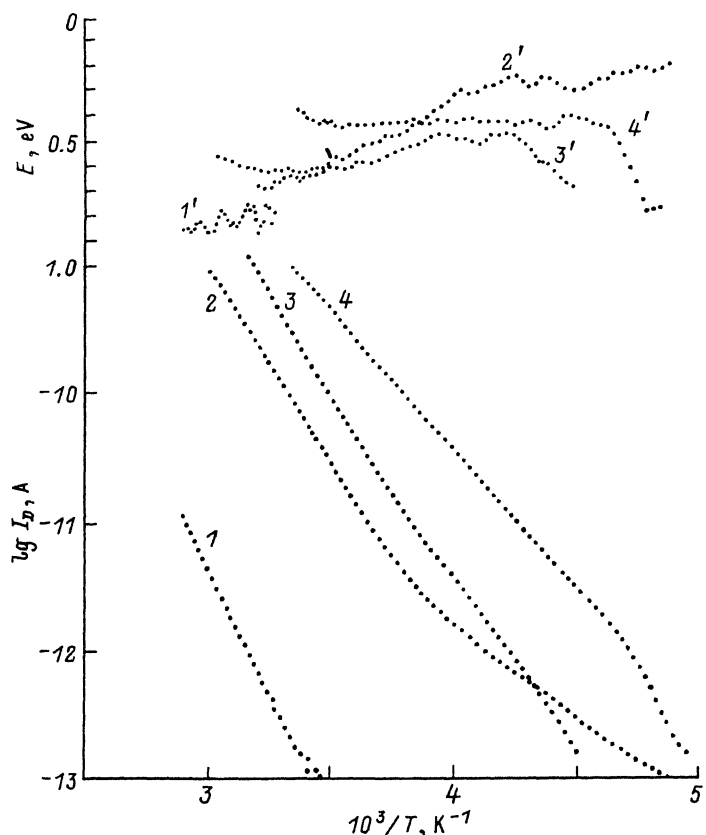


Рис. 5. Температурные зависимости тока стока I_D и соответствующие значения энергии активации E в области температур $200\div350$ К. 1, 1' — собственная проводимость α -Si(H) ($V_G = V_{GLB} = 0$, $V_D = +1$ В); 2, 2' — p -канал ЛБ ТПТ ($V_{GDB} = -4$, $V_G = 0$, $V_D = -1$ В); 3, 3' — p -канал SiO_2 ТПТ ($V_G = -20$, $V_{GLB} = 0$, $V_D = -1$ В); 4, 4' — n -канал SiO_2 ТПТ ($V_G = +15$, $V_{GLB} = 0$, $V_D = +1$ В). Скорость нагрева $\partial T / \partial t = 0.25$ К/с.

активационный рост тока I_D по мере нагрева с энергией $E = 0.44$ эВ. В то время как для p - и n -каналов ТПТ на границе α -Si(H)— SiO_2 , получено значение энергии активации $E = 0.65 \div 0.7$ эВ. В отсутствие поля ($V_G = V_{GLB} = 0$) $E \approx 0.85$ эВ, что соответствует собственной проводимости объема пленки. Это коррелирует с данными оптических измерений (ИК спектроскопии) ширины запрещенной зоны аморфного гидрированного ($\approx 2\%$ водорода) кремния $E_{\text{опт}} = 1.59$ эВ.

Заключение. Электронные свойства границ раздела α -Si(H)— SiO_2 и α -Si(H)—ЛБ пленка в двухстороннем ТПТ характеризуются различной плотностью локализованных состояний. Она максимальна на границе α -Si(H)— SiO_2 по сравнению с границей α -Si(H)—ЛБ пленка, что связано с различием в методах их формирования. В результате подвижность эффекта поля в канале ТПТ вдоль ЛБ пленки в 30 раз выше, нежели вдоль поверхности SiO_2 , что свидетельствует о перспективности применения ЛБ метода для формирования подзатворных диэлектриков в тонкопленочных полупроводниковых приборах.

СПИСОК ЛИТЕРАТУРЫ

- [1] M. J. Powell. IEEE Trans. Electron. Dev., 36, 2753 (1989).
- [2] G. John, S. Hack, M. Hack. J. Appl. Phys., 65, 2124 (1989).

- [3] G. L. Gaines. Insoluble Monolayers at Liquid—Gas Interfaces. N. Y. (1966).
- [4] П. А. Годуа, Е. Ф. Шестакова. Перспективы применения сверхтонких пленок в твердотельной электронике. 47. М. (1989).
- [5] G. I. Larkins, G. D. Fung, S. E. Rickert. Thin Sol. Films, **180**, 217 (1989).
- [6] Y. S. Freidzon, V. P. Shibaev, A. V. Kharitonov, N. A. Plate, In «Advances in Liquefied Crystal Research and Applications» (ed. by L. Bata), 899, Budapest (1980).
- [7] H. Ringsdorf, G. Schmidt, J. Schneider. Thin Sol. Films, **152**, 207 (1987).
- [8] R. H. Tredgold. Thin Sol. Films, **152**, 223 (1987).
- [9] B. T. El'tazarov, A. N. Georgobiani, N. G. Rambidi, P. A. Todua. Molecular Electronics, **4**, 49 (1988).
- [10] С. И. Васильев, В. Б. Леонов, Ю. Н. Моисеев, В. И. Панов. Письма ЖТФ, **14**, 727 (1987).
- [11] Ю. Н. Моисеев, В. И. Панов, С. В. Савинов, И. В. Яминский. Электронная промышленность, вып. 3, 39 (1991).

Редактор В. В. Чалдышев
